

日本電信電話公社茨城電気通信研究所 正会員 田中邦男

同

正会員 山川喜弘

同

正会員 小林英夫

1. まえがき 連続コンクリートトンネルの安定性検討のためには、長年月に亘る地山のゆるみ、地震等に起因する終局的分離過程を解析することが必要となる。この場合、軸方向の移動が微少で、圧縮強度が大きい連続コンクリートトンネルにおいては、分離過程時に発生する追合効果が重要な意味を持つてくる。本文は、この追合作用の影響を検討するために、既にトンネル部分に、図1のような切断線が生じている一つのモデルを取り上げ、不等沈下時ににおける追合力の算定を行い、これにもとづき、トンネルの極限的な安定性に対する考察を試みたものである。

## 2. 追合力の理論的考察と実験的検証

図1に示すような連続トンネルの  $O_1 \sim O \sim O_2$  面が切断している場合の力学モデルとして、丁度2つの片持ばかりが  $O_1 \sim O \sim O_2$  面で、向かい合わせに接触している状態を想定する。この状態下では、土圧が2つのはりに同じようにかかるため、 $O_1 \sim O \sim O_2$  を対称面として左右対称にたわむ。このため図2のごとく、はりの中立軸は、お互に  $\Delta_1$  ずつ縮むが、片持ばかりの端面に微少な傾きが生じ、天端があがみ合った形で  $\Delta_2$  ずつ伸び、天端の接触部で追合力  $F$  が発生することになる。このような追合力  $F$  が生ずることにより、左右のはりがお互に  $\Delta_3$  ずつ縮むものとすると、 $\Delta_1$ 、 $\Delta_2$ 、 $\Delta_3$  の間には、式(1)の関係式が成立しなければならない。

$$\Delta_1 + \Delta_2 + \Delta_3 = \Delta, \quad \Delta: \text{肉厚(初期条件)} \quad \cdots \cdots (1)$$

これらの  $\Delta_i$  に対する厳密な解析は、サン・ブナンが示した問題の組み合わせ、等で求めることができるが、ここでは、通常のはり理論を適用して、式(2)のごとく定める。

$$\left. \begin{aligned} \Delta_1 &= -\frac{\eta^2 D^2 L^7}{14,336 E I^2} + \frac{3\eta D^2 L^5}{2560 E^2 I^2} F - \frac{D^2 L^3}{192 E^2 I^2} F^2 \\ \Delta_2 &= \frac{\eta^2 D^2 L^3}{96 E I} - \frac{\eta D^2 L}{8 E I} F, \quad \Delta_3 = -\frac{\lambda L}{2 E A} F \end{aligned} \right\} \quad (2)$$

$\eta$ : 土圧,  $D, A, E, I$ : トンネル外径、断面積、ヤング率、断面2次モーメント,

$F$ : 追合力,  $L$ : 地山のゆるみ量(空洞長),  $\lambda, \mu$ : 補正係数,

式(2)を式(1)に代入し、整理すると、追合力は式(3)のようにな表示される。この場合、追合力は、 $\{\eta_1\}, \{\eta_2\}$  とともにプラスとなるときに発生するが、実際的には  $\{\eta_2\} > 0$  であり、また軸方向の移動が微少となる連続トンネルの切断

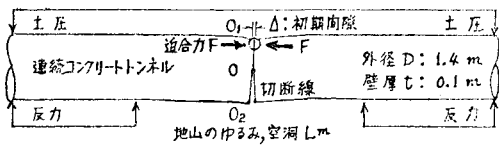


図1. 連続トンネルにおける分離過程のモデル。

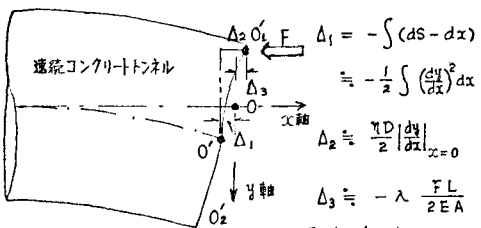
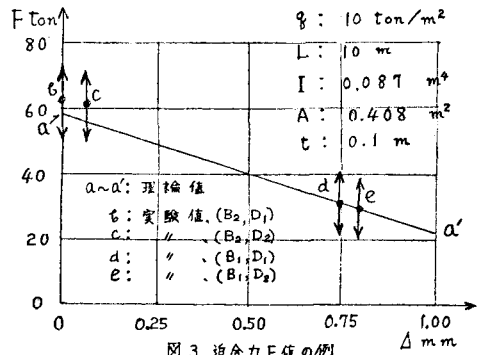
図2. トンネル 軸方向伸縮量  $\Delta_1, \Delta_2, \Delta_3$ 。図3. 追合力  $F$  値の例。

表1. 要因および水準。

要因	水 準	
	1 水準	2 水準
A 追合効果	$A_1$ 追合作用有、	$A_2$ 追合作用無、
B 接触状態(初期量)	$B_1$ 接触不良、(初期大)	$B_2$ 接触良、(初期小)
C 分布荷重	$C_1$ 5ton/m²に対応、	$C_2$ 10ton/m²に対応、
D 時間差	セット直後 $D_1$ に測定、	繰り返して $D_2$ 測定、

面においては、 $\Delta$ （初期開隙）は微少と仮定することができ、 $\{q_1\} > 0$  となって、追合力が生ずることが言える。

$$F = \frac{5A \cdot \{q_1\}}{84L \cdot \{q_2\}} \cdot \left[ 1 - \frac{800 A^2 D^2 L \cdot \{q_1\}}{63 \cdot \{q_2\}^3} \right] \quad (3)$$

$$\{q_1\} = 448 \pi q D^2 L^3 EI - 38 D^2 L^7 - 43,008 E^2 J^2 \cdot \Delta$$

$$\{q_2\} = 320 \pi A D^2 EI + 1,280 \lambda E I^2 - 38 A D^2 L^4$$

以上の追合力は、図4のモデル実験によって、容易に確認することができる。図4、IIの精密実験については、表Iの要因および水準を定めて、複合形直交計画にもとづき実施し、図5のごとき結果を得た。(实物大トンネルの場合に変換表示する。)これより、抽出した追合力をグラフ中に示して理論結果と比較すると、図3例のように重ねされ、理論解析例と同様の傾向となっていることが言える。

### 3. 極限における安全領域の算定例

図1に示す地山のゆるみ長さ(空洞長)  $L$  は、土圧  $q$  の程度に対応した限界値をもち、許容される空洞長  $L_m$  が定まる。この限界空洞長  $L_m$  と土圧  $q$  との関係は、片持ばかりとしての算定式および式(3)の追合力  $F$  の算定式から求まる。式(4)の関係式にもとづいて、定めることができる。この場合追合力は、 $L_m, q$  を含むため、 $F(L_m, q)$  で表示する。

$$\frac{q}{8} L_m^2 - F(L_m, q) = K \quad --- (4)$$

$K$ ：トンネル断面、コンクリート強度で定まる定数。

式(4)で求まる  $L_m$  への関係をグラフで表わすと、図6中に例示するごとき傾向となる。また、実際問題として重要な、切斷力所開口部よりの土砂侵入に対処するための許容限幅および追合力作用点付近での局部的圧壊の程度を仮定すると、同様に、限界空洞長  $L'_m$  と土圧  $q$  との関係が式(5)で表示され、図6中に例示するような傾向となる。

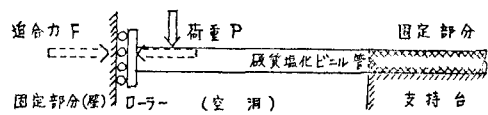
$$L'_m = \frac{2V}{\sqrt{K}} \frac{\sqrt{D}}{\sqrt{B}} \cdot \sqrt{E_m} \quad --- (5)$$

$V$ ：局部的圧壊の程度を表す係数、 $\gamma$ ：追合力が作用するモーメントの腕の長さとトンネル外径との比率、 $E_m$ ：切斷力所開口部における許容限幅、

具体例として、式(4)(5)中の  $K, E_m, V, \gamma$  が表2で示される値の場合には、図6のごとき安全領域の一例が求められる。

4. あとがき 本文中の諸式は多くの仮定を含み、吟味を要するが、かかる追合作用は、連続トンネル等に存在する基本事象をなすことが推測できる。今後は、地震、クラック成長等の問題を加えて、本質的検討を行う予定である。

第一実験(確認実験)----荷重  $P$  を加えると、追合力  $F$  が生ずる。



第二実験(精度実験)----分布荷重  $q$  を加えると、追合力  $F$  が生ずる。

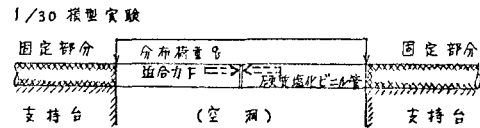


図4. 追合力抽出、確認のためのモデル実験。

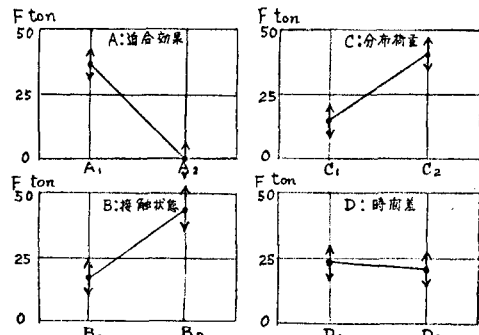


図5. 要因効果の推定。

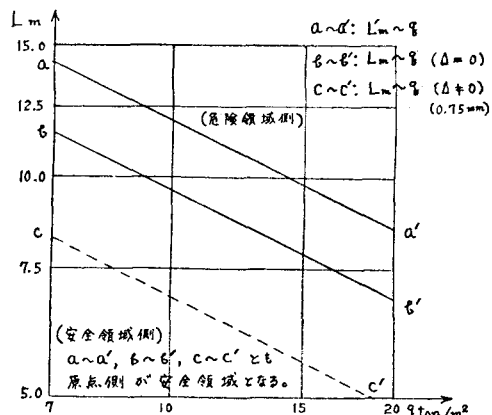


図6. 安全領域の算定例。

表2. 主要因子

因子	適用値	説明
$K$	44.3 ton	トンネル外径、断面2次モーメント及びコンクリート強度で定まる実験値である。
$E_m$	2.0 mm	排水フィルター-鋼筋梁柱により、土砂侵入限幅を2mm程度とする。
$V$	2/3	追合力発生から分離状態となるまでに、1~2/3と変化するとし、悪条件をとる。
$\gamma$	$7 \times 10^{-6} m^2/ton$	圧壊発生時の過渡期間が終り、平衡状態となつた時点での値を仮定する。